

大气环流的若干基本問題

叶篤正 朱抱真

科学出版社

大气环流的若干基本問題

叶 篤 正 朱 抱 真

(中国科学院地球物理研究所)

科 学 出 版 社

1958

內容提要

本書綜合評述了過去對於大氣環流若干基本問題的主要研究成果，然後在這些研究成果的基礎上，對一些重要的問題作了進一步的研究和比較全面的探討。

書中首先對所觀測到的北半球大氣環流的主要事實予以概括的描述，提出了大氣環流中存在的主要問題，然後分別對其中若干基本問題的理論探討予以總結和研究。這些問題一方面是主要的平均環流，包括準地轉運動、平均緯向環流、水平環流、經圈環流、西風急流與溫度場的形成和維持問題，以及作為大氣環流狀態短期變化的長波不穩定問題。另一方面是大氣環流中主要物理量的平衡，包括角動量平衡、動能平衡和熱量平衡問題。從這些問題的討論中試圖闡明大氣環流主要事實的本質，並提出作者對解決這些問題的一些看法。最後並將這些問題的相互關係進行了探討，說明大氣環流本身如何形成为一个內在統一的整体。

本書可供氣象研究工作者及大學氣象專業教學工作者在工作上的參考。

大氣環流的若干基本問題

著者 叶 篤 正 朱 抱 真

出版者 科 學 出 版 社

北京朝陽門大街 117 号

北京市書刊出版業營業許可證出字第 061 号

印刷者 北京西四印刷厂

總經售 新 华 書 店

1958年8月第 一 版

書號：1298 印數：10 1/4

1958年8月第一次印刷

字數：230,000

(京)0001-1,500

開本：787×1092 1/16

定价：(10) 1.60 元

目 录

序 言	(1)
第一 章 北半球大气环流的主要觀測現象	(2)
§ 1. 平均緯向环流	(2)
§ 2. 平均的水平环流	(7)
§ 3. 平均經圈环流	(12)
§ 4. 对流層下半部的平均垂直运动場	(16)
§ 5. 平均溫度場	(16)
§ 6. 大气环流的年变化和季节的交替	(17)
§ 7. 大气环流状态的短期变化和环流指数	(23)
§ 8. 大气环流中的几个主要問題	(28)
第二 章 控制大气环流状态的几个基本因子	(31)
§ 1. 大气本身的特殊尺度	(31)
§ 2. 太陽輻射能	(31)
§ 3. 地球的自轉	(32)
§ 4. 地球表面的不均匀性	(33)
§ 5. 地面摩擦	(34)
第三 章 准地轉运动	(35)
§ 1. 运动尺度理論	(35)
§ 2. 准地轉运动生成的物理原因	(36)
§ 3. 气压場和風場的适应	(38)
§ 4. 运动的空間尺度和緯度對於适应的作用	(40)
§ 5. 地轉偏差的量級	(43)
第四 章 东西風帶、經圈环流与西風急流的生成	(44)
§ 1. 从溫度場討論东西風帶的形成	(45)
§ 2. 动量源匯和热量源匯对平均經圈环流生成的作用	(46)
§ 3. 大型渦旋的尺度对經圈环流的作用	(49)
§ 4. 东西風帶和經圈环流生成的一个非綫性模式	(51)
§ 5. 关於东西風帶和經圈环流生成的机制	(52)
§ 6. 急流的形成——水平大型渦旋混合理論	(53)
§ 7. 急流的形成和維持——大型渦旋輸送理論	(54)
第五 章 关於西風帶平均槽脊的形成	(57)
§ 1. 北半球上地形和热源、热匯的分佈	(57)
§ 2. 大尺度热源扰动理論	(60)
§ 3. 大尺度地形的微扰动理論	(62)
§ 4. 大地形的有限振幅扰动理論	(63)
§ 5. 大地形的小扰动和有限振幅扰动理論的比較	(65)
§ 6. 地形扰动的模型試驗	(66)
§ 7. 大尺度地形和热源对西風帶的共同作用	(67)
§ 8. 地面摩擦的作用	(70)

第六章 平均溫度場的形成理論	(72)
§ 1. 輻射和湍流对溫度場形成的作用	(73)
§ 2. 海陸熱力特性对溫度場形成的影响	(75)
§ 3. 水汽凝結和动力因素的影响	(77)
第七章 長波和長波的不稳定	(78)
§ 1. 長波的移动	(78)
§ 2. 長波能量的傳播	(79)
§ 3. 不稳定的分类	(81)
§ 4. 不稳定的結構及其發生的物理過程	(84)
§ 5. 波动的能量	(86)
§ 6. 關於不稳定的理論的進一步探討	(87)
第八章 大氣中角動量的平衡	(89)
§ 1. 角動量平衡方程	(89)
§ 2. 地球和大氣之間的应力和角動量的交換	(90)
§ 3. 角動量的渦旋輸送	(95)
§ 4. 角動量水平輸送的物理机制	(97)
§ 5. 經圈環流的作用	(99)
§ 6. 緯圈環流的季节变化	(101)
§ 7. 緯圈環流維持的机制	(103)
第九章 大氣中动能的平衡	(105)
§ 1. 平均运动場的动能平衡方程	(105)
§ 2. 对流層下部平均运动場中的动能制造与消耗	(106)
§ 3. 大气动能的上下和南北的傳遞	(110)
§ 4. 能量轉換方程	(112)
§ 5. 大气环流中的能量循环	(115)
第十章 大氣中的热量平衡和水分平衡	(119)
§ 1. 热量平衡方程	(119)
§ 2. 高低緯度間可感热量的輸送	(120)
§ 3. 高低緯度間凝結潛热的輸送和水分的輸送	(121)
§ 4. 平均經圈環流对热量輸送的作用	(122)
§ 5. 热量輸送的經向分布	(123)
§ 6. 热量的垂直輸送問題	(125)
第十一章 总結——大气环流的內在統一	(127)
§ 1. 大气环流中主要成員的相互关系	(127)
§ 2. 大气环流中主要物理量平衡过程的相互关系	(129)
§ 3. 今后的工作	(133)
参考文献	(135)
Contents	(145)
Abstract	(147)
Legends	(157)

序　　言

大气环流所包含的内容是比较广泛的，一般所说的的大气环流的对象是有关大范围的大气运行现象，它的水平空间尺度在数千公里以上，垂直空间尺度是10公里以上，时间尺度是1—2日以上。这种大尺度大气运动的现象很多，它们构成大气运行的基本状态，不但影响天气的类型及其改变，也影响了气候的形成。因此关于大气环流的研究是极端重要的，并具有重大的实际意义。

我们知道气象学的主要目的在於認識大气的物理过程以便进行天气预报和气候形成的了解，最后达到控制天气、改造气候的理想。如果把天气预报从半經驗和外推的方法进一步发展为精确和客观的方法，我们就必须对控制大范围运动的具体的物理过程和因子予以了解。在复杂的大气运行和天气变化中找出主要的因子，建立现实可用的描写大范围运动的模式，对于天气预报工作特别是数值预报工作便提供了可靠的物理根据。而大气环流問題的研究正担负了这个任务。另外要更有效地利用气候資源，必须对气候形成过程和气候形成因子进行深刻的理解，在这个问题中大气环流的研究也具有极重要的作用。

人们开始研究大气环流虽然很早，但是对它的了解到40年代以后才比较明确。这是由於过去对大气的实际認識很不完全，而理論又脱离实际所造成的。近年来高空探测站迅速增加，气象学者們对于大气环流进行了很多的觀測事实的分析，对三度空間大气的状态和运行的根本特性有了深刻的認識，从而建立了能够和实际相联系的理論。近年来新鮮事物發現得很多，理論研究也更广泛深入。这些研究所得的結果已对天气预报以及气候形成等問題作出了重要的貢獻，同时也还存在着許多重要的問題，對於这些問題不同的作者还有着不同的看法。因此在这个时候对于大气环流的若干主要問題作一个总结性的評述、討論和研究是适宜而有用的。

在本文中我們將首先对大范围大气运行的基本状况和重要現象予以概括的描写，然后从理論上对于若干重要現象形成的物理过程和因子給予定量或定性的討論，並說明它們是如何的相互关联与相互作用成为一个内在統一的整体。

在本文初稿完成后，作者曾於1957年7—9月在中国气象学会北京分会学术演講会上作了报告，得到到会同志的許多宝贵意見，經补充修改后全稿於1958年5月底完成。在整个工作过程中，作者曾和顧震潮同志作了多次有益的討論，特誌謝意。

第一章 北半球大气环流的主要观测现象

由於近年来高空探测事業的發展，尤其是在近三、五年以来在中国增加了許多探空和高空風觀測站，使得我們對北半球整个範圍的大型运动的基本状态有了相当程度的了解。在这一章中我們將把人們近年来所發現的有关北半球大气环流的重要的觀測事實簡單地总结一下。並且根据这些事實現象提出大气环流中若干主要問題。

§ 1. 平均緯向环流

大气环流的最基本的状态是盛行着以極地为中心而旋转着的緯圈方向的气流，也就是说緯向环流在整个大气里是居於主导地位，因此我們可以首先討論平均緯向环流的垂直剖面。

圖 1·1 是 Mintz^[1]所作的 1 月和 7 月沿整个地球上各經度平均的緯向环流的垂直剖面圖。我們可以看到明显的風帶分佈，在北半球近地面北極区冬夏都是一个东風帶的薄

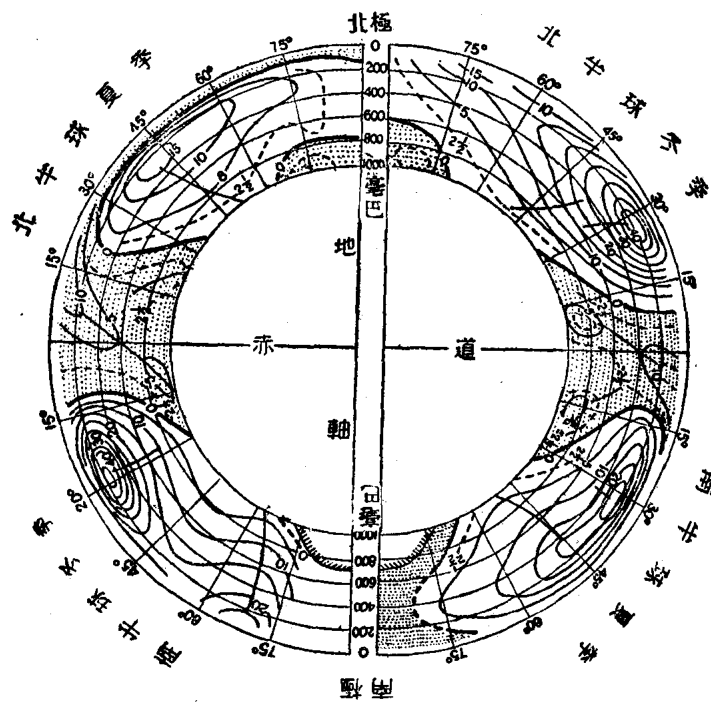


圖 1·1 冬季和夏季根据所有經度平均的緯向風(等風速綫單位为米·秒⁻¹)^[1]

層^[1]，它的厚度夏季要比冬季薄。东風風速在冬季約 $2 \text{ 米}\cdot\text{秒}^{-1}$ ，夏季減弱約 $1 \text{ 米}\cdot\text{秒}^{-1}$ 。在中緯度从地面向上都是西風，它在緯距上的寬度隨着高度而擴大。西風強度隨着高度增加，在冬季它的最大值位於北緯 27° 的 200 毫巴高空。風速約為 $40 \text{ 米}\cdot\text{秒}^{-1}$ 。在夏季它的最大值北移，位於北緯 42° 的 300—200 毫巴之間。在夏季 50 毫巴以上全為東風，在冬季則比較复杂。

以上是所有经度上的平均值，它们显示了纬圈环流是最基本的状态。但是实际上纬圈环流在不同的经度上情况还不相同。下面我们要选几个有代表性的一定经度上的剖面，讨论一下它们的不同情况。

(1) 亚洲——关于亚洲的剖面有过很多研究，如叶篤正^[2]，Chaudhury^[3]，谢义炳和陈玉樵^[4]，Mohri^[5]，仇永炎^[6]，邬鸿勳与陈隆勳^[7]等。图1·2是仇永炎所作的1951—1955年东经140°的1月平均剖面。在这里西风急流的位置是在北纬32°的250毫巴左右，速度极为强烈，大约为78米·秒⁻¹，是北半球上最强的急流。

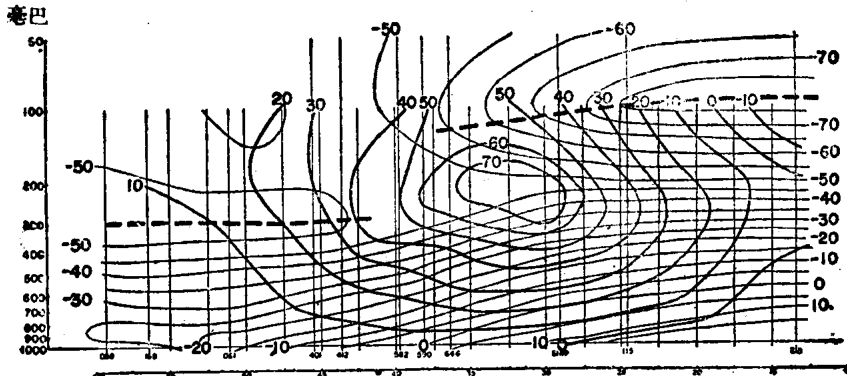


圖 1·2 1951—1955 年五月份東經 140° 的平均剖面圖。實線為等緯向風速線，間隔為 10 米·秒⁻¹；虛線為等溫線，間隔為 5°C；粗線為對流層頂^[6]

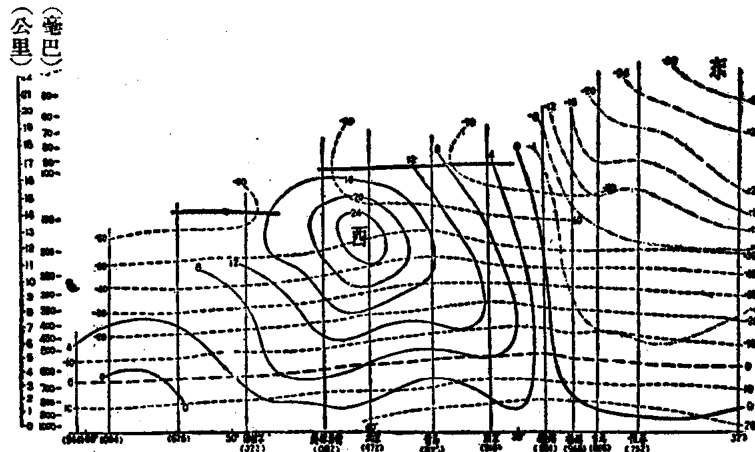


圖 1·3 1956 年 7—8 月份東經 120° 的平均剖面圖。實線為等緯向風速(米·秒⁻¹)，虛線為溫度(°C)^[8]

图1·3是陶诗言和陈隆勳^[8]所作的1956年夏季东经120°的剖面，这里的夏季急流在40°的150毫巴左右，强度在25米·秒⁻¹以上。比冬季减弱了 $\frac{1}{3}$ ，在副热带有一最大东风带。

(2) 北美洲——关于这个地区，尤其是沿西经80°的平均剖面的研究也比较多，最早的是Willett^[9]，随后为Hess^[10]，最近的是Kochanski^[11]所作的1948—1951年沿西经80°的平均剖面，图1·4是1月的情况。在这个图上我们看到中纬度急流的位置在北纬37°与42°之间，高度为10—12公里，强度为50米·秒⁻¹以上，这个急流有分为两个的趋势。在北纬20°，高度27公里左右有一副热带东风急流，强度为20米·秒⁻¹以上；这是东经140°

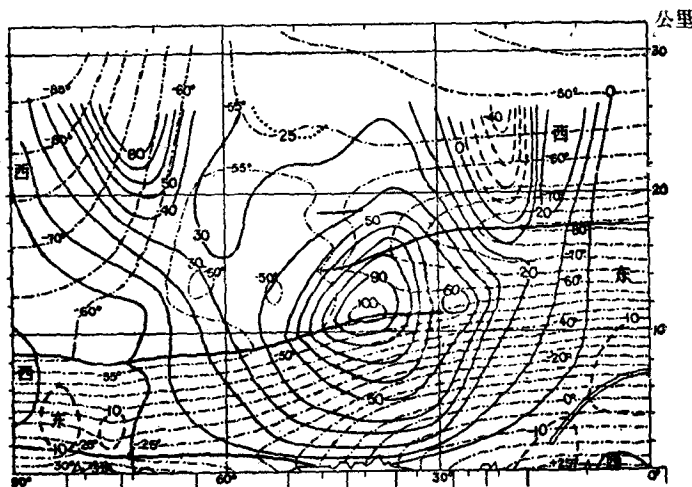


圖 1.4 1月西經 80° 的平均剖面圖。細實綫為西風風速，虛綫為東風風速(單位：浬·小時 $^{-1}$)，
破綫為溫度($^{\circ}\text{C}$)，粗實綫為對流層頂^[11]。

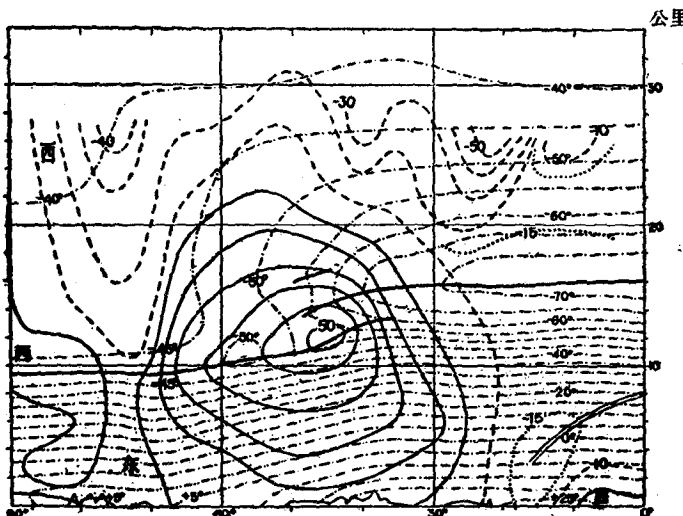


圖 1.5 7月西經 80° 的平均剖面圖^[11] (說明如圖 1.4)

的剖面上所沒有的。此外應特別提出的是 25 公里以上高緯度的西風急流，通常稱它為極地黑夜急流，其強度至少與中緯度的急流相當*)。

圖 1.5 是 Kochanski 的 7 月平均剖面圖。和 1 月最大不同的地方是在極地高空，這裏原是西風急流，現在成了東風急流，強度在 $20 \text{ 米} \cdot \text{秒}^{-1}$ 以上。此外中緯度西風急流減弱，中心速度比冬季小了一倍，並向北移。副熱帶的東風急流冬夏無大變化。

(3) 欧洲——關於歐洲的平均剖面的研究很少，過去有 James^[12]，Johnson^[13]，Gilchrist^[14]，Hubert 和 Dangel^[15]的剖面，但這些剖面都只是個別年份的情況。我們現在將後者的 1952 年 1 月由挪威德琅索 (Tromsö) 到西非洲的達喀爾 (Daker) 沿西歐低壓槽槽

*) 這個急流的生成是因為冬季在極地自地面到很高的高空都不見陽光，造成極地高空低溫所致。

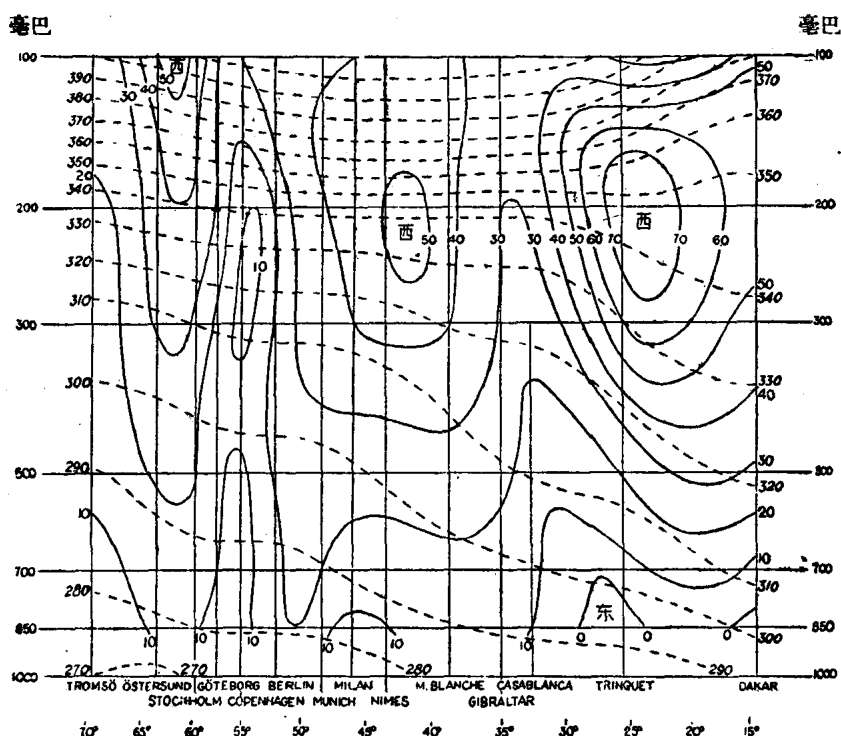


圖 1.6 1952 年 1 月由挪威德環索到西非海岸大加那利島的平均剖面圖。實線表示地轉風速
(哩·小時⁻¹)，虛線表示位溫(°A)^[15]

線上所作的剖面圖作為例子(圖 1·6)。從這個圖上我們可以看到也是有兩支急流，而低緯的更強些，大約在北非北緯 24° 為 $35 \text{ 米} \cdot \text{秒}^{-1}$ 以上。急流的位置和強度都和 Namias 及 Clapp^[16] 的 1 月平均圖相合。這個低緯度的急流在 Johnson, Gilchrist 的圖上都會出現(但 James 的圖上則只有中緯度急流)。

另外在極地平流層上(北緯 62° ,100毫巴上)也有一个25米·秒 $^{-1}$ 以上的極地黑夜急流。在所有的剖面上我們都可看到:無論冬季或夏季对流層中的溫度梯度並非均匀地分佈,而是在急流下方相当地集中,形成一个强烈的鋒区,也就是說对流層大气的斜压性主要集中在中緯度的西風急流的下方。在它的南北方都接近於正压大气。对流層頂在急流的地方不連續,南为热带对流頂,北为極地对流頂。另外在夏季的南北溫度差異要比冬季小得多。

比較上面的各剖面，我們可以發現沿不同經度大气的平均結構相差很大，無論風場或溫度場都是如此。為了說明這點，我們採用仇永炎^[6]所作的冬季東經 140° 和西經 80° 的風場差（圖 1.7）。圖上顯示出在北緯 20 — 45° 間，東經 140° 的西風風速要比西經 80° 大得多，二者差別的最大值達 $35 \text{ 米} \cdot \text{秒}^{-1}$ 以上，位於北緯 30° 的 300 毫巴左右。溫度場的差異也是有意思的，北緯 55° 以南，在 500 毫巴以上，東經 140° 的溫度普遍地高於西經 80° ，最大差值大於 6°C ，位於北緯 35° 的 200 毫巴以上。 500 毫巴以下東經 140° 的溫度則普遍低於西經 80° ，二處溫度差最大達 -8°C ，位於北緯 50° 的 700 毫巴左右。

圖1.8是亞洲東岸與美洲東岸夏季大氣結構的比較。在比較冬季的情況時仇永炎採用了Hess^[10]的剖面。為了和圖1.7相比較，圖1.8是根據圖1.3和Hess的夏季剖面作出來的。

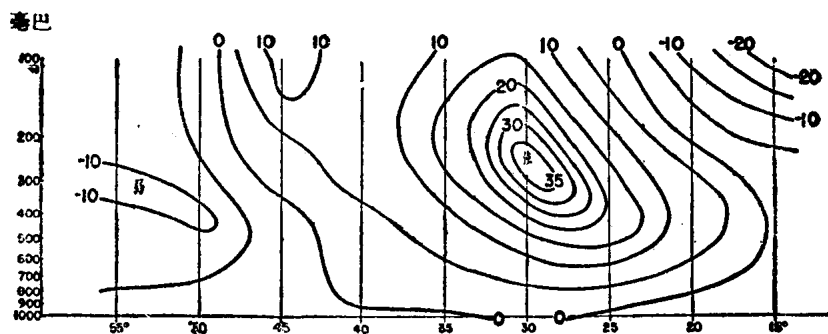


圖 1.7(a) 1月東經 140° 的風場與西經 80° 各相同緯度上的風場之差，間隔為 $5\text{米}\cdot\text{秒}^{-1}$ ⁽⁶⁾

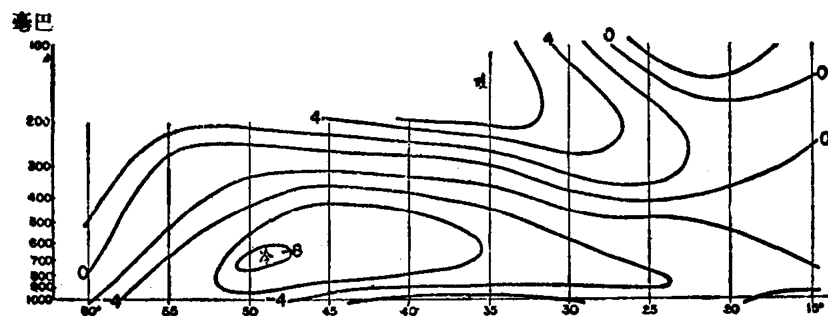


圖 1.7(b) 1月東經 140° 的溫度場與西經 80° 各相同緯度上的溫度場之差，間隔為 2°C ⁽⁶⁾

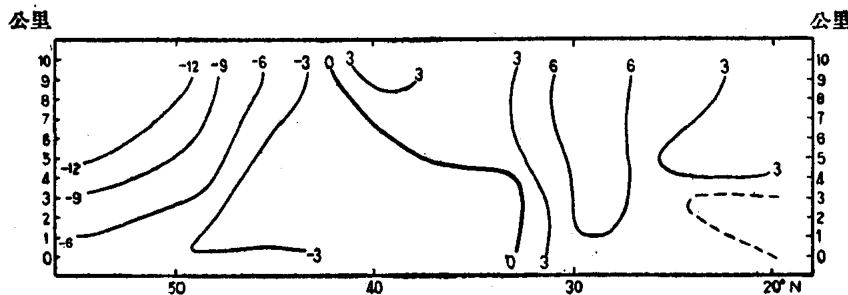


圖 1.8(a) 7月東經 120° 的風場⁽⁸⁾與西經 80° 的風場⁽¹⁰⁾之差。單位為 $\text{米}\cdot\text{秒}^{-1}$

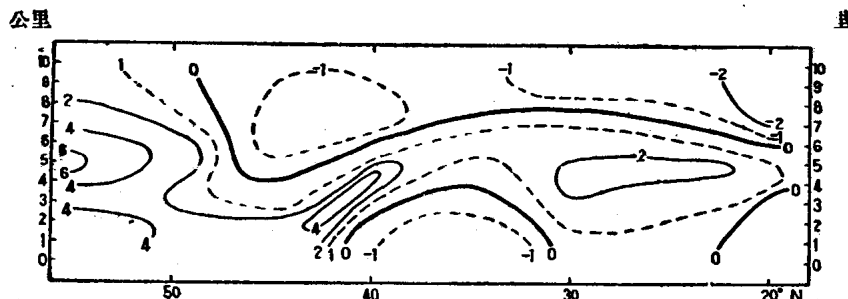


圖 1.8(b) 7月東經 120° 的溫度場⁽⁸⁾與西經 80° 的溫度場⁽¹⁰⁾之差。單位為 $^{\circ}\text{C}$

夏季两岸西风风速也是很不同的，北纬 40° 以北，美洲东岸风速大，在北纬 55° 的300毫巴处两者差值达13米·秒 $^{-1}$ 。北纬 40° 以南则相反地亚洲东岸大于美洲东岸。由图中我们还可看出北纬 50° 以北亚洲沿岸温度高与美洲东岸，两边最大的温度差达 6°C ，位于500毫巴左右。北纬 50° 以南的情况大致与冬季情况正好相反，对流层上半部在亚洲沿岸温度低，对流层下半部除个别地区外，亚洲沿岸温度高与北美东岸。两者差值最大达 4°C ，位于北纬 40° 的600毫巴左右。由亚美两洲沿岸的冬夏温度比较，可以看出在对流层上部亚洲东岸温度的年较差小，而美洲东岸大，而对流层下半部则相反（此点顧震潮^[17]曾有过讨论）。

应当指出上面夏季亚、美两洲东岸情况的相比，还不能算作最后定论，因为东经 120° 的剖面只是一年的平均，而西经 80° 的则是数年的平均。

§ 2. 平均的水平环流

上一节我们讨论了平均纬向环流的垂直剖面，但是在这个基本的纬圈环流上又有着许多的不均匀性。在这一节里我们将用500毫巴和海面气压的水平环流图讨论一下这些不均匀性。把上节的垂直剖面环流和下述两层的水平环流合在一起，使得我们对大气运行的三度空间的状态得到一个清楚的概貌。

图1·9—1·12是冬季和夏季的500毫巴高度和海面气压的平均图，前者是陶诗言^[18]根据近5年亚洲的平均资料和美国气象局1951年出版的平均图^[19]绘制的。后者是美国气象局出版的平均图。

由图1·9，我们可以看出冬季北半球环流的最主要的特点是在中高纬度以极地为中心盛行着沿纬圈方向的西风。在西风带的上面还有行星波尺度的平均槽脊，有三个明显的大槽，一个在亚洲沿岸，由鄂克霍次海向低纬度的西南方向倾斜，第二个自美洲的大湖区向低纬度的西南方向倾斜，第三个自欧洲的北海向低纬度的西南方向倾斜，这三个槽中以第三个为最弱。和三个槽相并列的为三个脊，脊的强度比槽要弱得多。在较低的纬度带里槽的位置、数目和中高纬度带里并不完全一致。在那里还多出了美洲加里佛尼亞的浅槽和地中海的浅槽。

在和图1·9相对应的海面气压图（图1·10）上，环流沿着纬圈方向上的不均匀性更为显著，和槽脊相对应的低压、高压环流更为清楚。主要特点是两个大低压，一个在阿留申，另一个在冰岛，和一个强大的西伯利亚高压，此外的高压则强度较弱。两个低压是和高空的两个主槽相对应的，但是高空的第三个槽（北海槽）相对应的地面上没有低压，只表现出一个槽来。

在海面气压图上所出现的阿留申和冰岛低压区正是冬季北半球两个低压最经常加深的地方。在欧洲北海区也是低压加深的地方，但远不如前二者那样厉害。

在这些地方加深的气旋是从那里来的呢？从Petterssen^[20]所作出的冬季北半球气旋生成频率（图1·13）可以看得很清楚。亚洲沿岸以外的洋面上是个气旋生成区，美洲东岸的洋面也是一个气旋生成区，在这两区生成的气旋顺着高空平均主槽东面的气流前进到阿留申和冰岛附近加深。斯堪的那维亚半岛是另外一个气旋生成区，在这里所生的气旋是和高空的第三个平均主槽有着关联的。此外地中海和美洲的洛磯山东面都是气旋生成

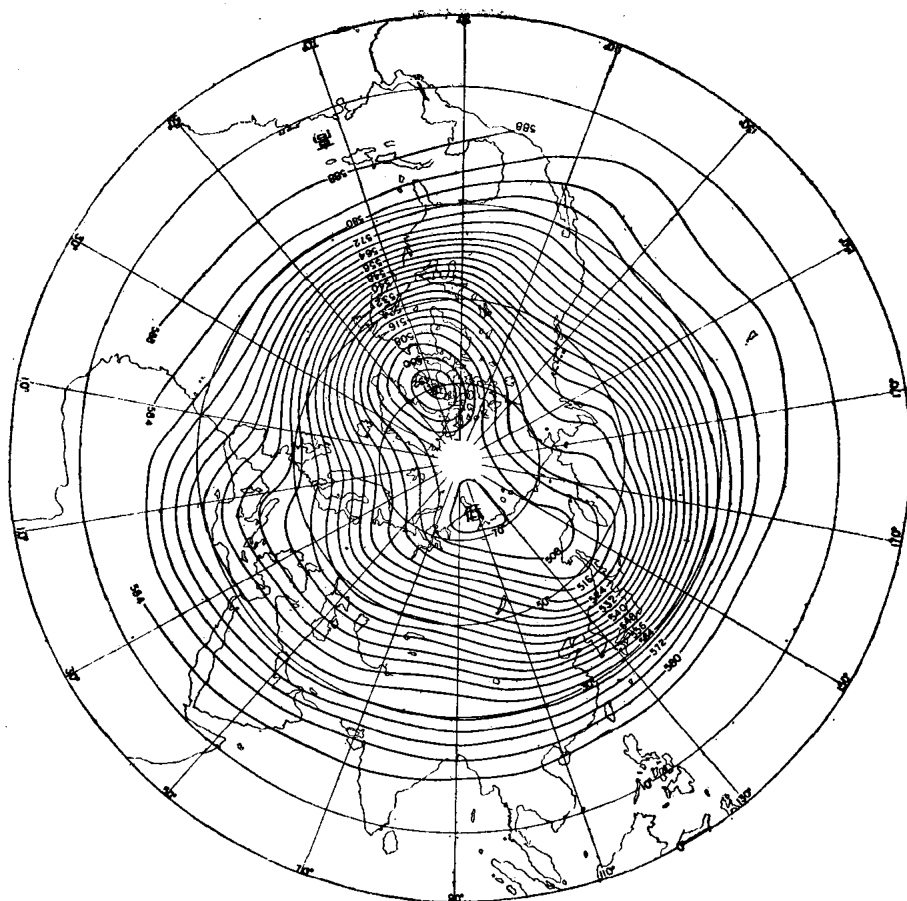


圖 1·9 北半球 500 毫巴平均高度圖(1月)^[18]

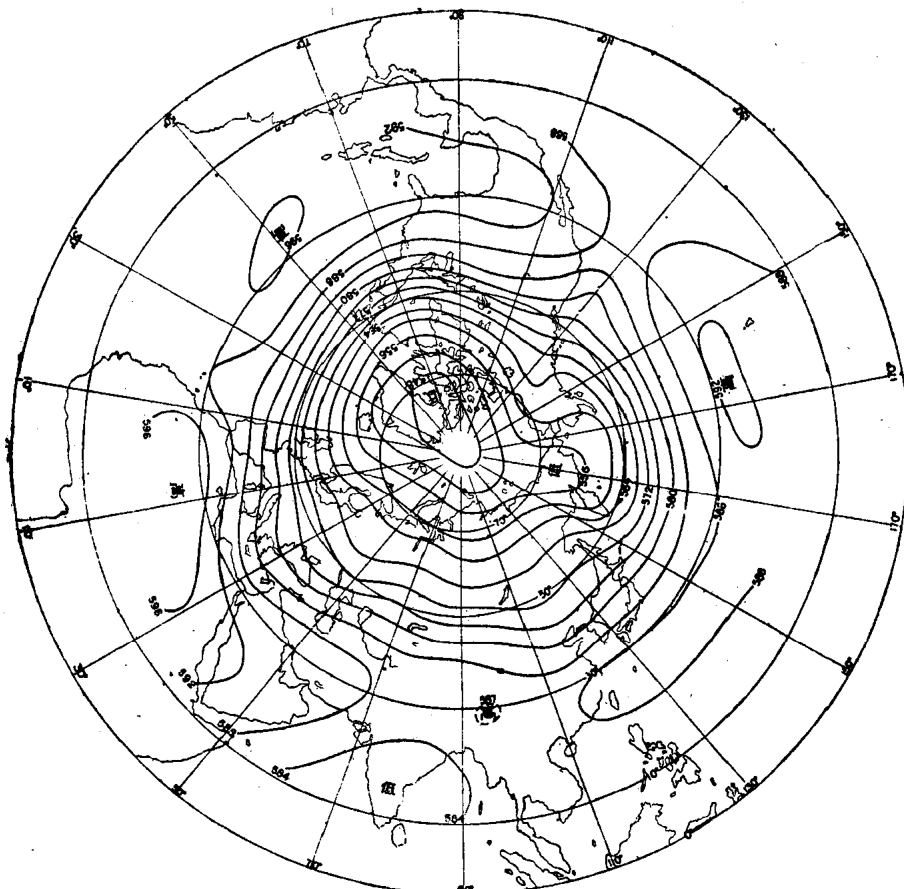


圖 1·10 北半球 500 毫巴平均高度圖(7月)^[18]

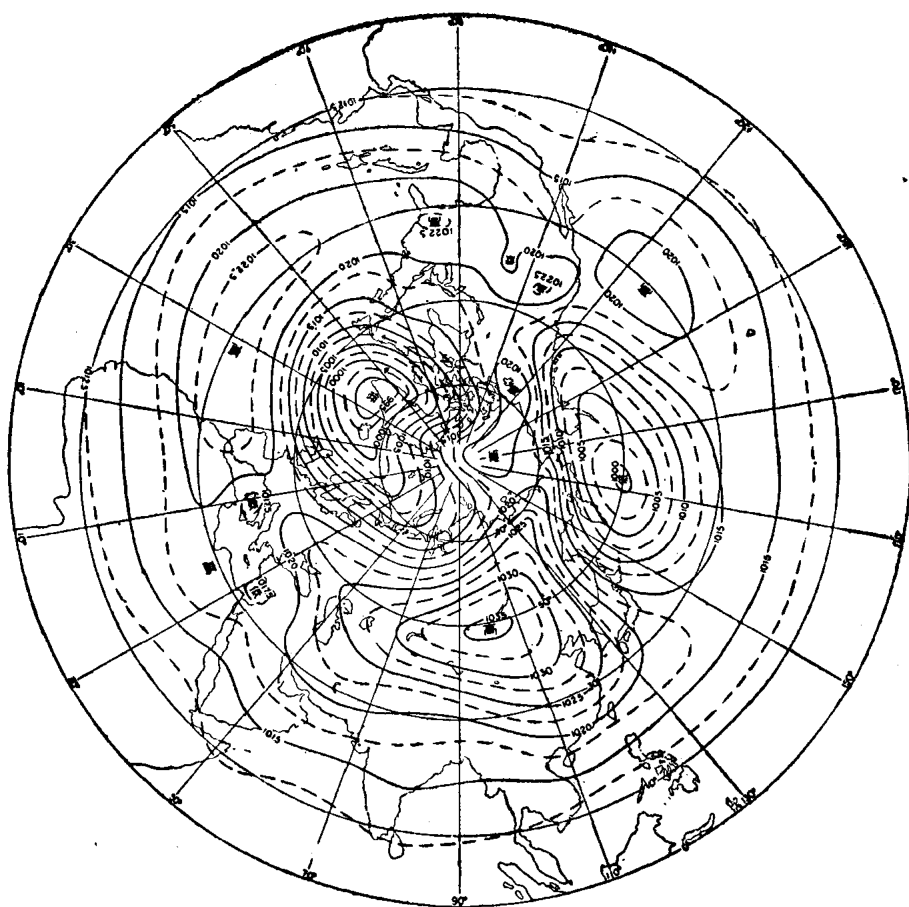


圖 1·11 北半球海面平均氣壓圖(1月)^[19]

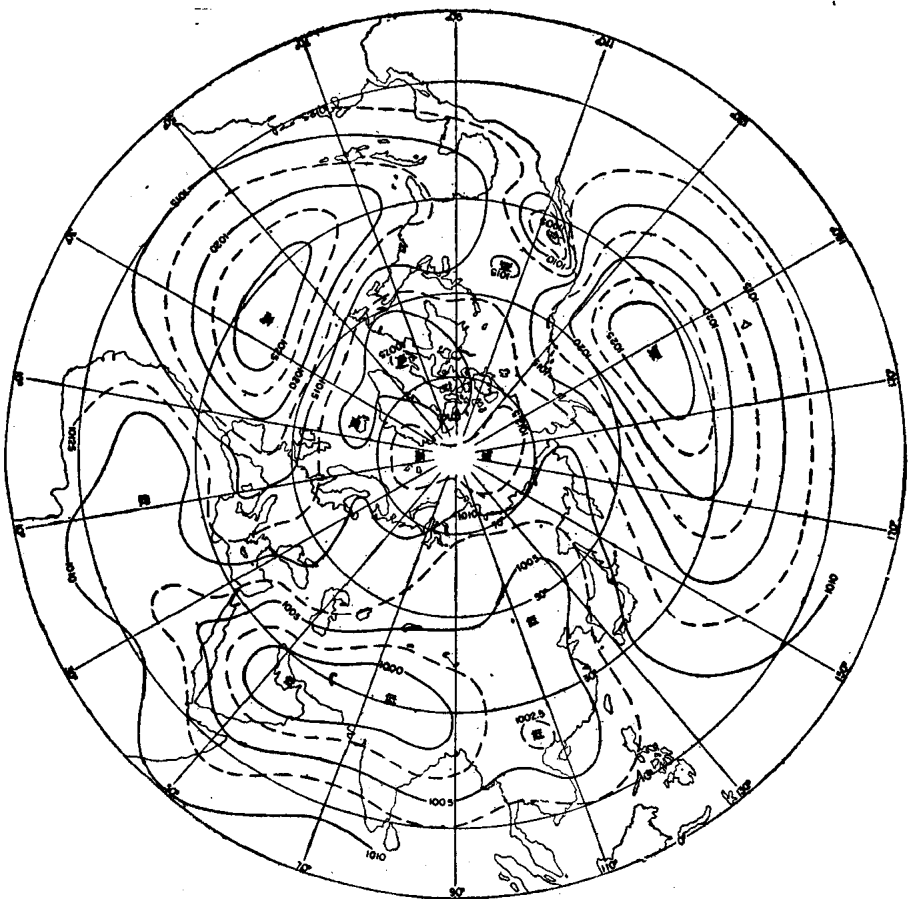


圖 1·12 北半球海面平均氣壓圖(7月)^[19]

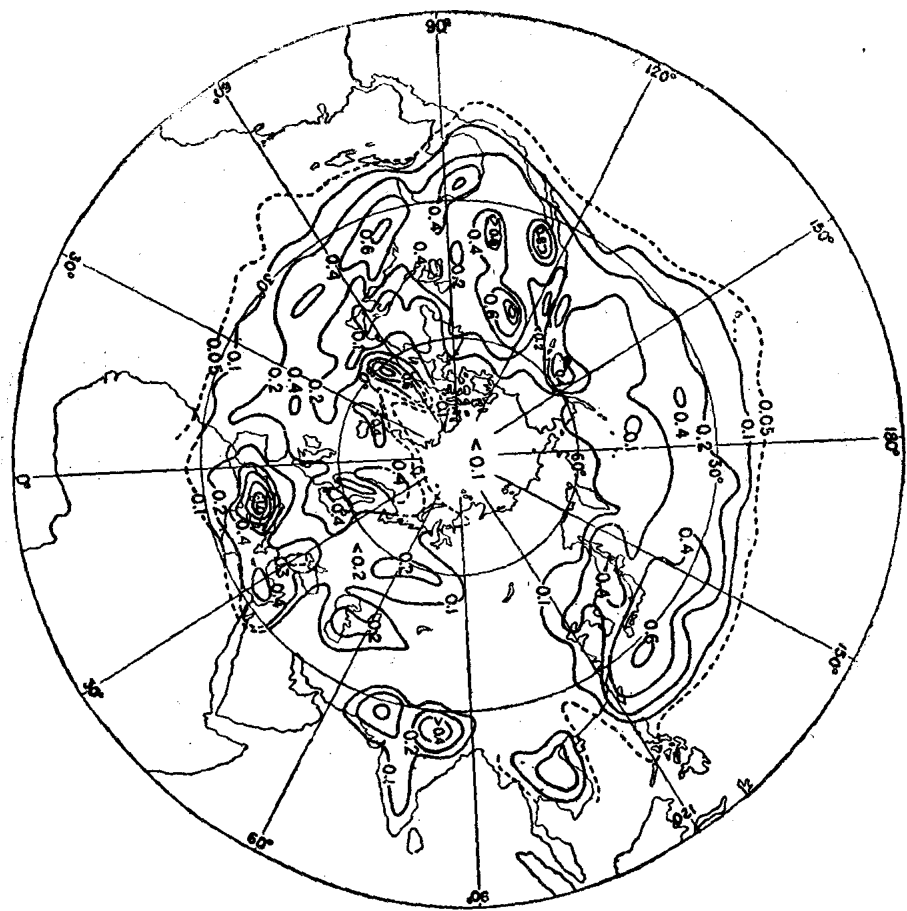


圖 1·13 冬季氣旋生成的出現頻率圖(每 100,000 平方公里上的百分數)^[20]

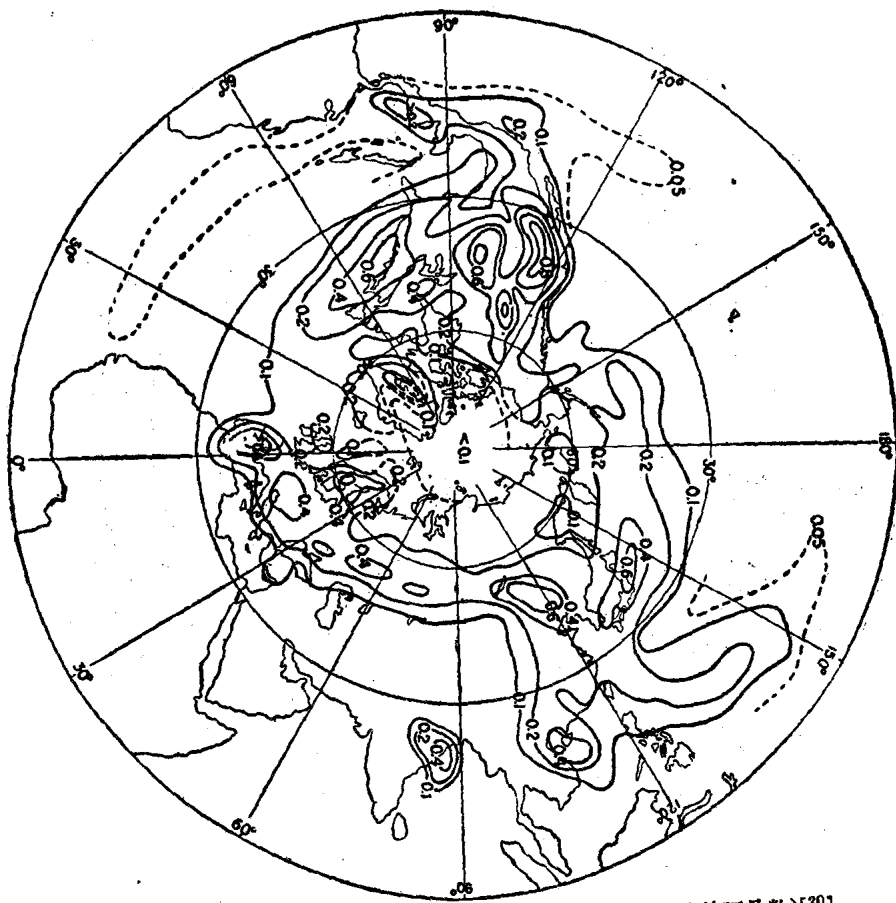


圖 1·14 夏季氣旋生成的出現頻率圖(每 100,000 平方公里上的百分數)^[20]

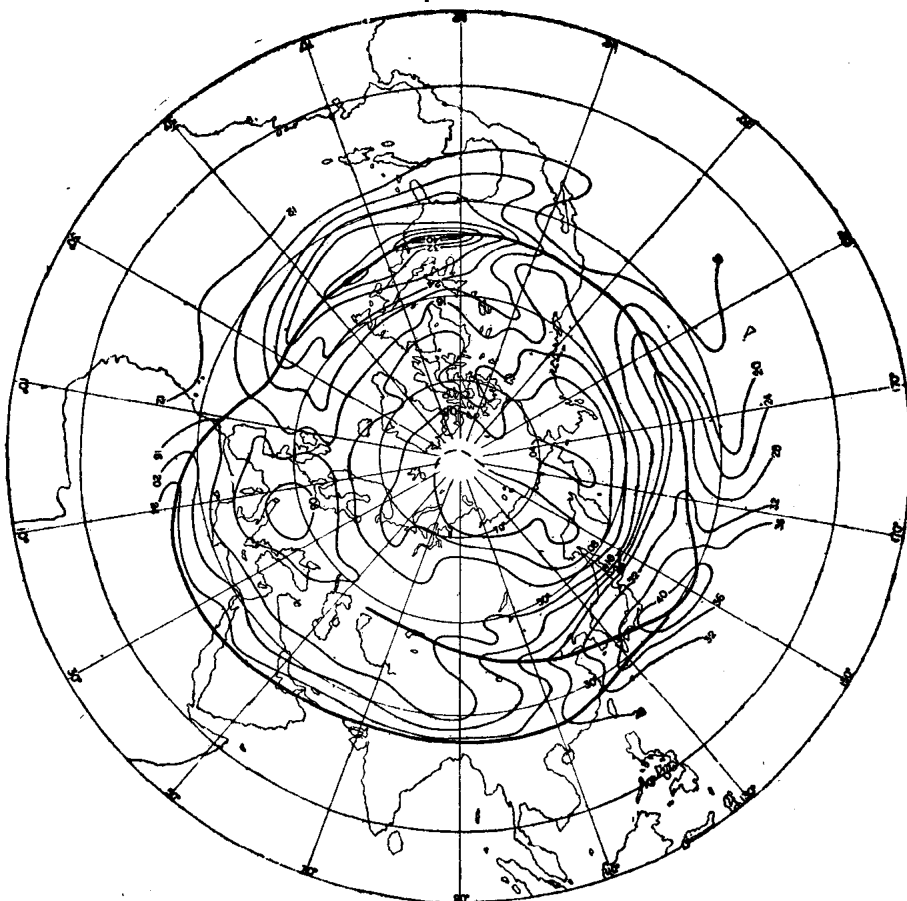


圖 1.15 北半球 500 毫巴平均地轉西風風速圖(1月),單位為米·秒⁻¹[18]

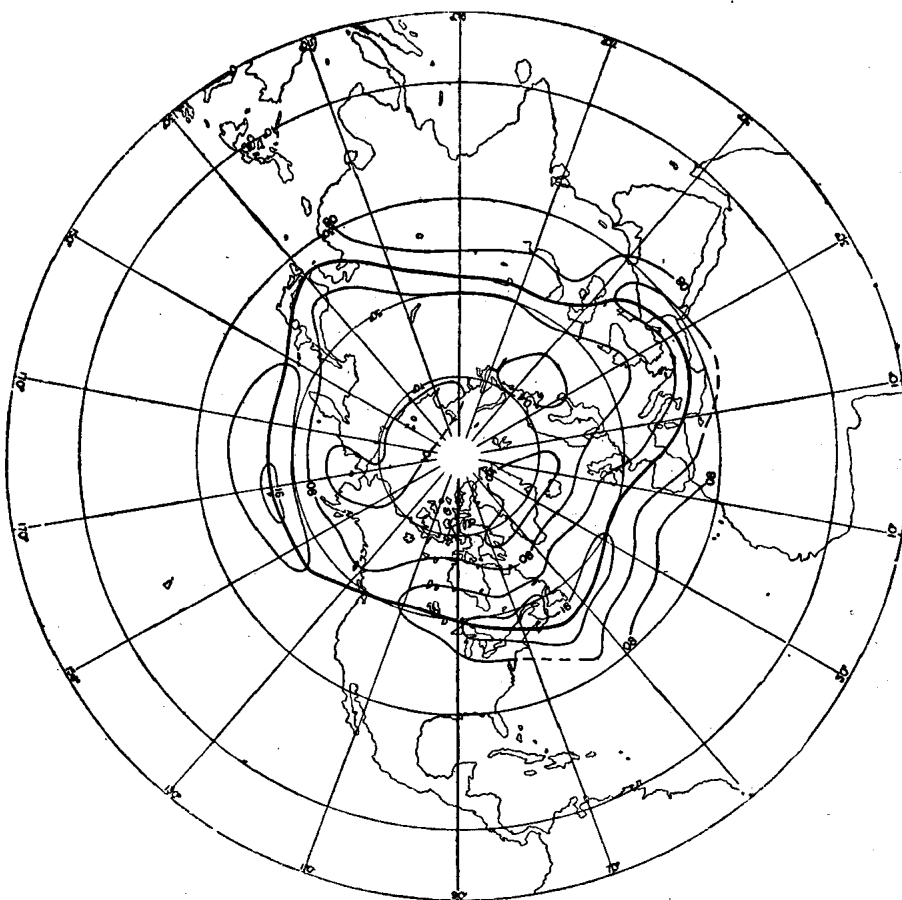


圖 1.16 北半球 500 毫巴平均地轉西風風速圖(7月),單位為米·秒⁻¹[19]

区，以頻率看这两区要比前面所提到的三个区都要大，然而与这两区相对应的高空槽的强度却很弱。

圖 1·11 是 7 月 500 毫巴平均圖。這張圖与 1 月最大的不同处，除整个風帶的北移外，就是在中高緯出現了四个槽，比冬季多了一个。冬季是脊区的貝加爾湖以西現在成为槽区。在美洲东海岸的平均槽由冬至夏向东移动很小。但原在亞洲西岸的大槽却向东移动很多，到了堪察加半島以西。另外在欧洲方面变动也很大，原来冬季西歐海岸是一个平均脊区，現在轉成槽区。

在 7 月平均圖上还有一个显著的特点是强大的副热带高压帶，在两个大洋上各有一个閉合中心。在較低的緯度区，美洲西岸的洋面上还有一个小槽出現。

和圖 1·11 相对应的 7 月海面平均气压圖(圖 1·12)，冬夏环流的改变要比 500 毫巴大得多，在大陆上和海洋上冬夏的系統位相几乎完全相反，高的成了低的，低的成了高的。这在亞洲方面更为明显，也就是通常人們所說的海陆間大規模風系季节轉变的“季風”^[21]。

我們还可看到在冬季高空平均槽和地面的低压是相对应着的，但是在夏季情况則很不明显，这意味着冬夏兩季高空平均槽在性質上可能有所不同，至少在平均槽的維持机制(Mechanism)上，冬夏有所不同。

圖 1·14 是 Pettersson^[19] 的夏季气旋生成頻率分佈圖，將圖 1·14 与圖 1·13 比較我們可以發現，冬夏兩季气旋生成頻率最大区的位置强度的改变都比較小，只有地中海的那个最大区向西移动較多。

这样我們看到，冬夏海面气压系統变化很大，但 500 毫巴平均槽脊变化較小，而气旋生成頻率最大区变化更小。这种現象可能和后者与前者的統計方法不同有关，但是气旋生成頻率最大区的冬夏变化与海面气压系統的冬夏变化如此明显的不同至少意味着下列事实：冬夏气旋生成的动力作用分佈相似，但使得气旋加深的作用在冬夏可能很不相同。

为了更清楚地表示北半球西風环流的特点，这里給出陶詩言最近所作的 1 月和 7 月的 500 毫巴上的西風地轉風速分佈圖(圖 1·15—1·16)。我們首先看到的是几乎与緯圈完全平行的環繞整个半球的强西風帶，它的分佈並不是均匀的，在冬季有三个中心，兩個强中心一个在日本东南、另一个在美洲东岸，还有一个比較弱的中心在阿拉伯(这个中心位置由於記錄較少尙待进一步肯定，Namias^[16] 和黃仕松^[22] 都指出在北非有一个急流中心)。應該指出的是冬季在有些經度上有兩支急流，在亞洲特別明显。

到了夏季(圖 1·16)，整个半球上西風風速減弱是很显著的，强西風帶也向北移。急流的存在已不像冬季那样明显，更沒有兩支的現象。

§ 3. 平均經圈环流

上面所敍述的是緯圈环流和平面环流，这里我們要討論一下平均經圈环流。18 世紀中叶 Hadley^[23] 在討論信風时曾推論在低緯度的子午面上應該有一个閉合的經圈环流，此后这个环流被称为 Hadley 环型。由於空气的运动基本上符合於地轉風的关系，因此沿任何緯圈上的經向風速的平均必定接近於零，这样經圈环流如果存在的話，它的强度必定是很弱的，因而它的存在与否很久未得到肯定。到 1950 年 Riehl 和叶篤正^[24] 利用海上記錄證明 Hadley 环型是必須存在的，最近 Tucker^[25] 又利用整个北半球上的表面風